GenStar®

让扩增稳定无忧
GenStar PCR 系列产品

北京康润诚业生物科技有限公司

北京康润诚业生物科技有限公司（GenStar）总部位于北京，在江苏太仓设立主要生产基地。自成立十余年以来，一直深耕于分子生物学上游核心原料领域，是国内领先的兼具研发和工业化生产能力的国家高新技术企业。

GenStar 产品线覆盖核酸分离纯化、扩增、克隆、蛋白质检测和纯化以及细胞生物学检测等多个系列千余种产品，并向下游应用拓展开发了各类科研用检测试剂盒，如动物疫病检测试剂盒、食品安全检测试剂盒等。目前产品的 SCI 论文引用总数已达千余篇。

康润生物拥有覆盖全国的直销和渠道销售体系，与超过两千个科研院所课题组和数百家包括生物制药、基因治疗、CXO、动物疫病检测、分子诊断、检测服务在内的工业客户长期合作。

GenStar 专业的团队、优质的产品、丰富的经验、悉心的服务，就在您的身边。

康润生物　伴您生命科学成功之路

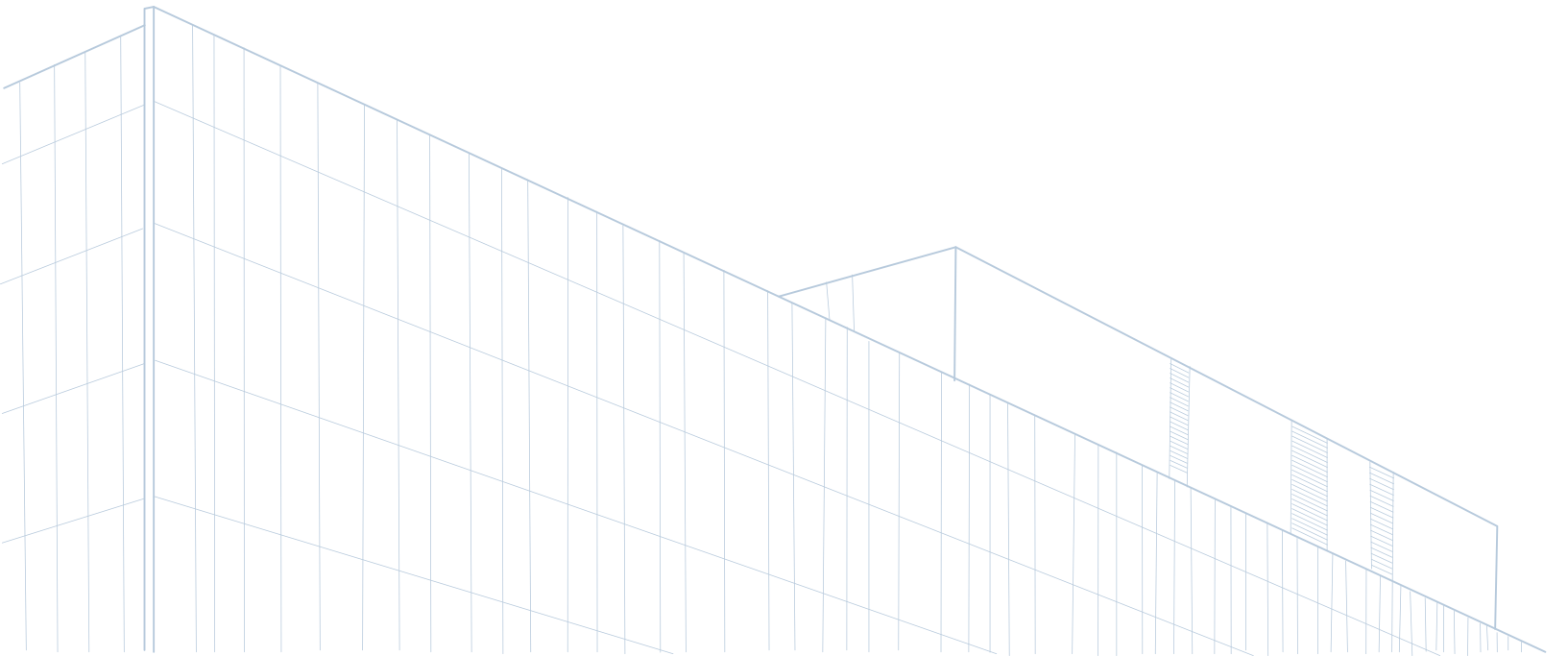

目录
CONTENTS

PCR（Polymerase Chain Reaction）技术是分子生物学的基石，被广泛应用于基因克隆、基因突变、基因检测、测序、探针标记等。PCR 基本原理是酶促 DNA 合成反应，但是不同 PCR 对 DNA 聚合酶、反应体系、反应条件要求不同。

GenStar PCR 系列产品包括常规 *Taq* PCR、快速 *Taq* PCR、高效 PCR、热启动 PCR、超保真 PCR、多重 PCR、直扩 PCR 等不同类型 PCR 的单酶及预混液，满足客户不同 PCR 的实验需求，保障您的实验顺利进行。

GenStar PCR 系列产品特性表

		常规 PCR	快速 PCR	高效 PCR	热启动 PCR		超保真 PCR	多重 PCR	直扩 PCR	
		Taq	SuperTaq	UltraTaq	Fast HSTaq	Power HSTaq	SuperNova	Multiplex	StarDirect Mouse HS PCR Kit	StarDirect Mouse HS HiFi PCR Kit
产品特性	保真度与 *Taq* 比较	1×	1×	10×	1×	1×	80×	1×	10×	80×
	扩增速度	60 s/kb	5-30 s/kb	15-30 s/kb	60 s/kb	60 s/kb	15-30 s/kb	30-60 s/kb	10 s/kb	10 s/kb
	扩增片段长度	⩽ 6 kb	⩽ 6 kb	⩽ 20 kb	⩽ 6 kb	⩽ 6 kb	⩽ 15 kb	⩽ 3 kb	⩽ 3 kb	⩽ 3 kb
	产物末端结构	3' A	3' A	3' A	3' A	3' A	平末端	3' A	3' A	平末端
产品应用	常规 PCR	☆	☆	☆	☆	☆	☆			
	快速扩增		☆☆☆				☆			
	高保真扩增			☆			☆☆☆☆☆			☆☆☆☆☆
	长片段扩增			☆☆☆☆☆			☆☆☆☆☆			
	高 GC 模板扩增		☆	☆☆☆☆☆			☆☆☆☆☆		☆☆☆☆☆	☆☆☆
	定点突变			☆			☆☆☆☆☆			
	多重 PCR				☆	☆	☆☆☆	☆☆☆☆☆		
	鼠尾鉴定				☆	☆			☆☆☆	☆☆☆☆☆

01 / 常规 *Taq* PCR

一般用于≤ 6 kb 且对保真度要求不高的 DNA 产物扩增、序列测定、DNA 平末端加 A 等，如大规模基因检测、快速克隆筛选、半定量 PCR、微量 DNA 模板检测等。

常规 *Taq* PCR Mix

产品名称	货号	规格	目录价 (¥)	特点
2×Taq PCR StarMix (Dye) 2×Taq 预混液 (染料)	A012-01	1 ml	28	含红色染料
	A012-10	1 ml×10	268	
	A012-100	1 ml×100	2398	
	A012-505	5 ml×5	668	
2×Taq PCR StarMix (Blue Dye) 2×Taq 预混液 (蓝染料)	A012-B01	1 ml	28	含蓝色染料
	A012-B10	1 ml×10	268	
	A012-B100	1 ml×100	2398	
2×Taq PCR StarMix 2×Taq 预混液	A015-01	1 ml	28	
	A015-10	1 ml×10	268	
2×Taq PCR StarMix for PAGE (Dye) 2×Taq 预混液 (染料，PAGE 专用)	A006-01	1 ml	28	PAGE 专用 含红色染料
	A006-10	1 ml×10	268	
	A006-100	1 ml×100	2398	

常规 *Taq* PCR 聚合酶

产品名称	货号	规格	目录价 (¥)	特点
Taq DNA Polymerase (Mg^{2+}-free Buffer) Taq DNA 聚合酶 (Mg^{2+}-free Buffer)	A110-01	500 U	73	可选择添加 Mg^{2+}, 优化体系，调整扩增产物量和特异性
	A110-10	500 U×10	580	
Taq DNA Polymerase (Mg^{2+}-plus Buffer) Taq DNA 聚合酶 (Mg^{2+}-plus Buffer)	A111-01	500 U	73	含 Mg^{2+}，使用方便
	A111-10	500 U×10	580	

2×*Taq* 预混液 (染料) (Cat#A012)
2×*Taq* 预混液 (蓝染料) (Cat#A012-B)
2×*Taq* 预混液 (Cat#A015)
Taq DNA 聚合酶 (Mg^{2+}-free Buffer) (Cat#A110)
Taq DNA 聚合酶 (Mg^{2+}-plus Buffer) (Cat#A111)

- **操作简便：**优化的一管化预混型试剂，减少人为误差、节约操作时间、降低污染几率
- **可选含染料产品：**含红色 / 蓝色染料，PCR 反应后无需添加上样缓冲液即可直接电泳上样
- **产物末端结构：**扩增产物 3' 端附有一个突出的“A”碱基，纯化后可直接用于 TA 克隆
- **适用性广：**适用于植物、动物、菌液等各类样本

▶ 扩增效率高

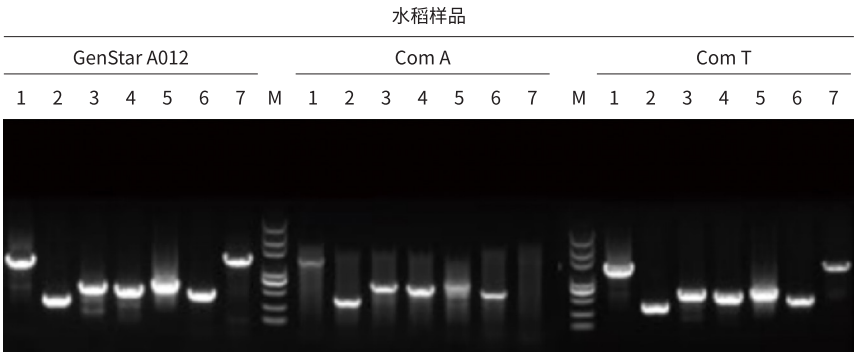

注： 1-7 为不同长度的目的片段

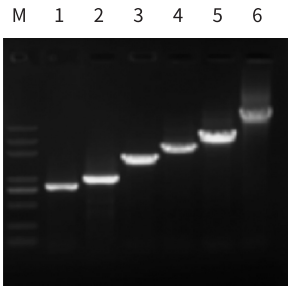

M: StarMarker D2000
1. Human cDNA-810bp
2. 大鼠 cDNA-1kb
3. 水稻 gDNA-1.7kb
4. 玉米 gDNA-2.3kb
5. 大肠杆菌 gDNA-3kb
6. λDNA-6kb

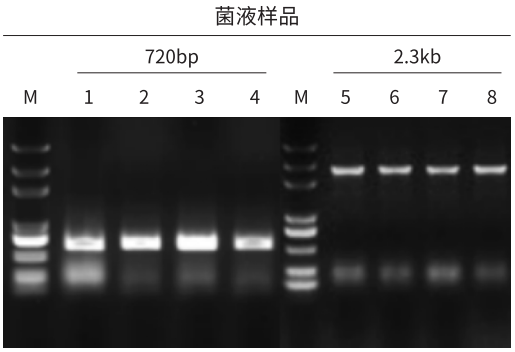

GenStar A012 适用性广泛，不同来源、不同长度模板扩增效率均很高

2×*Taq* 预混液 (染料，PAGE 专用) (Cat#A006)

- **操作简便：**优化的一管化预混型试剂，减少人为误差、节约操作时间、降低污染几率
- **可选含染料产品：**含红色染料，PCR 反应后无需添加上样缓冲液即可直接电泳上样
- **产物末端结构：**扩增产物 3' 端附有一个突出的“A”碱基，纯化后可直接用于 TA 克隆
- **适用于 PAGE 凝胶电泳：**专门针对聚丙烯酰胺凝胶高通量检测优化，背景更低

▶ 基因分型检测

基因分型引物筛选 (14 对引物)

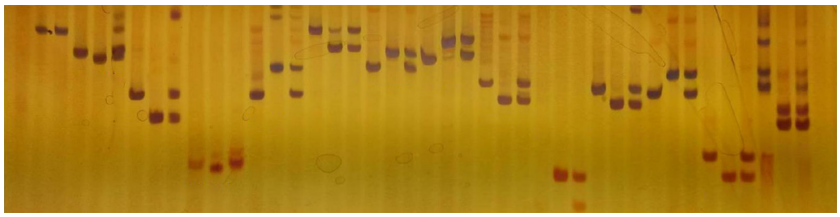

基因分型样品检测 (48 个样品)

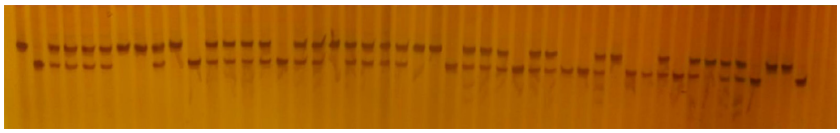

使用 A006 进行基因分型检测，经 PAGE 凝胶电泳分析，结果显示，条带清晰

02 / 快速 *Taq* PCR

适用于≤ 6 kb 的对保真度要求不高的 DNA 片段的极速扩增，短片段或简单模板延伸速度 5 s/kb，长片段 (≥ 3 kb) 或复杂模板延伸速度 15-30 s/kb。常用于大规模基因检测、快速克隆筛选、菌落 PCR、基因鉴定等。

快速 *Taq* PCR Mix

产品名称	货号	规格	目录价 (¥)	特点
2×SuperTaq PCR StarMix (Dye) 2×SuperTaq 预混液 (染料)	A002-01	1 ml	28	·含红色染料 ·扩增速度超快 (5-30 s/kb)
	A002-10	1 ml×10	268	
	A002-100	1 ml×100	2398	
2×SuperTaq PCR StarMix 2×SuperTaq 预混液	A003-01	1 ml	28	·扩增速度超快 (5-30 s/kb)
	A003-10	1 ml×10	268	
	A003-100	1 ml×100	2398	
2×SuperTaq PCR StarMix for PAGE (Dye) 2×SuperTaq 预混液 (染料，PAGE 专用)	A008-01	1 ml	28	·PAGE 电泳专用 ·扩增速度超快 (5-30 s/kb) ·含红色染料
	A008-10	1 ml×10	268	
	A008-100	1 ml×100	2398	

2×SuperTaq 预混液 (染料) (Cat#A002)
2×SuperTaq 预混液 (Cat#A003)

- ✦ **极速扩增：**3 kb 以下常规模板 5 s/kb，极限可至 1 s/kb，30 min 内完成 PCR 反应
- ✦ **性能优异：**高 GC 含量、复杂结构模板均可快速扩增，且特异性强、产物量高
- ✦ **操作简便：**预混型，可选含红色染料，醒目易区分
- ✦ **产物末端结构：**PCR 产物 3' 端带 A，纯化后可直接用于 TA 克隆

▶ 扩增速度极快且高 GC 模板也能快速扩增

延伸速度：15 s/kb

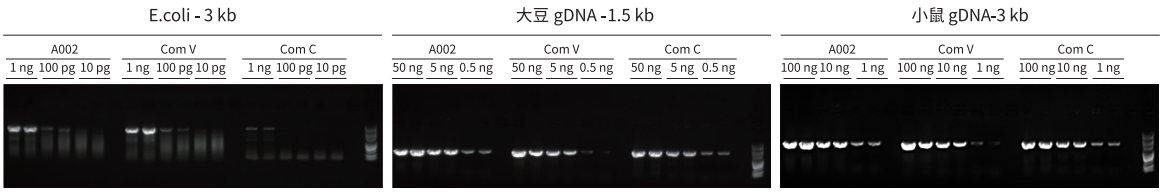

延伸速度：5 s/kb

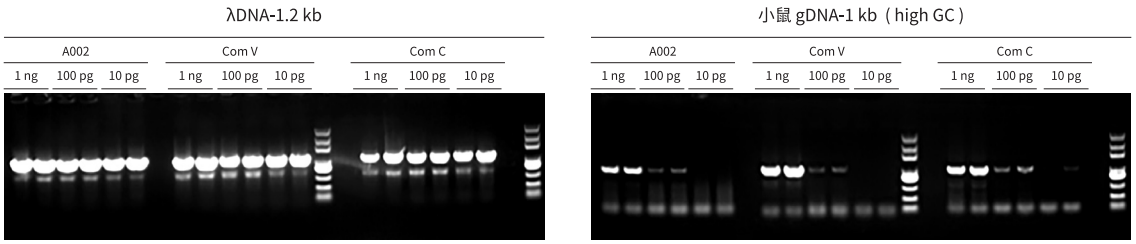

用 A002 和 Com V、Com C 分别对不同种属来源的模板进行扩增，结果显示，A002 扩增速度极快，高 GC 模板也可快速扩增，且扩增效果优于 Com V、Com C

2×SuperTaq 预混液 (染料，PAGE 专用) (Cat#A008)

- ✦ **极速扩增：**3kb 以下常规模板 5 s/kb，极限可至 1 s/kb，30min 内完成 PCR 反应
- ✦ **模板适用性广：**不同种属来源的常规模板、高 GC 模板和复杂结构模板均可快速扩增
- ✦ **操作简便：**预混型一管化，含红色染料，醒目易区分
- ✦ **适用 PAGE 凝胶：**针对 PAGE 凝胶高通量检测优化，PCR 产物适用于 PAGE 凝胶电泳
- ✦ **产物末端结构：**PCR 产物的 3' 端带 A，纯化后可直接用于 TA 克隆

▶ 适用于 PAGE 凝胶

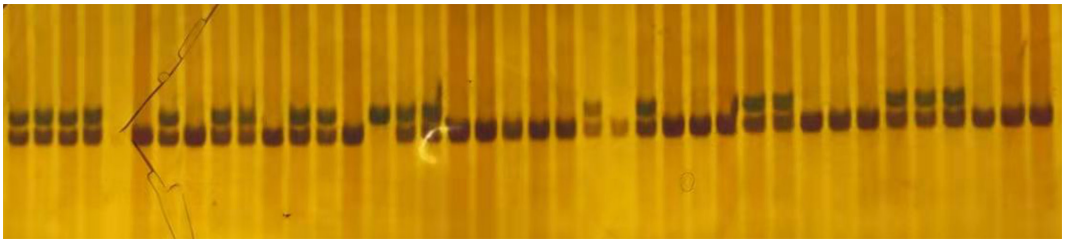

以水稻嫩叶裂解液为模板，使用 A008 进行 PCR 扩增，结果显示 A008 扩增产物适用于 PAGE 凝聚电泳且有效完成基因分型

▶ 高 GC 片段扩增能力强

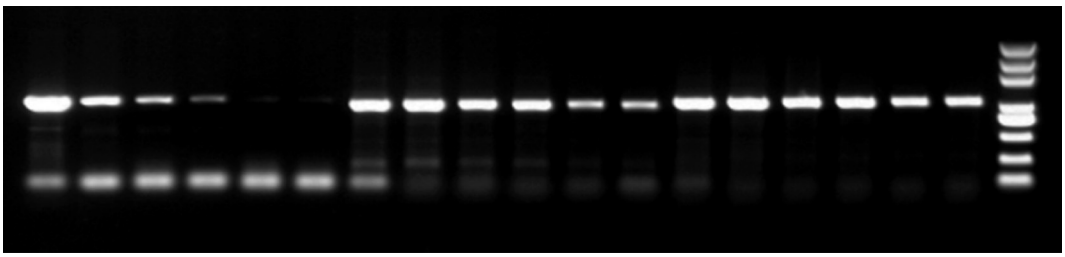

以小鼠 gDNA (50 ng、20 ng、10 ng) 为模板，使用 A008 扩增不同 GC 含量的目的片段。结果显示，A008 对高 GC 含量的片段扩增能力强

▶ 模板适用性广

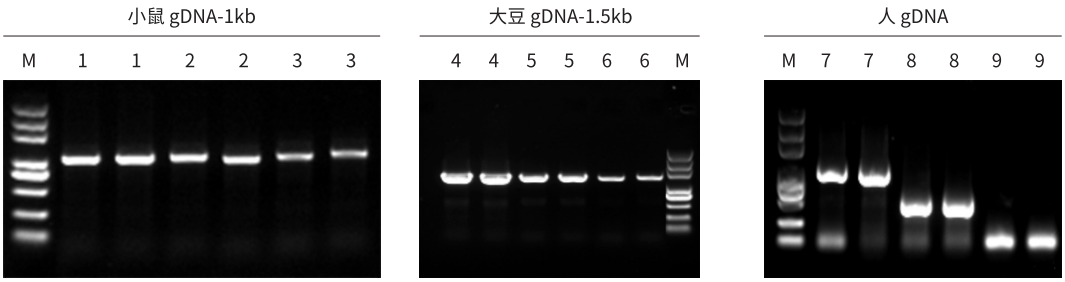

M：StarMarker D2000 plus　1：模板量 50 ng　2：模板量 20 ng　3：模板量 10 ng　4：模板量 100 ng　5：模板量 10 ng
6：模板量 1 ng　7：片段长度 1028 bp　8：片段长度 500 bp　9：片段长度 100 bp

以小鼠 gDNA (50 ng、20 ng、10 ng)、大豆 gDNA (100 ng、10 ng、1 ng) 和人 gDNA (50 ng) 为模板，使用 A008 进行扩增。
结果显示，A008 对动物、植物等不同来源模板扩增性能表现优异

03 / 高效 PCR

适用于对保真度有一定要求的≤ 20 kb 的质粒和 λDNA，或≤ 10 kb 的基因组模板的高效率扩增。可应用于菌落 PCR、高 GC 模板扩增、TA 克隆、一代测序、分子克隆等。

产品名称	货号	规格	目录价 (¥)	特点
2×UltraTaq PCR StarMix (Dye) 2×UltraTaq 预混液 (红染料)	A019-01	1 ml	48	·含红色染料 ·适用于高 GC 片段扩增 ·适用于长片段扩增
	A019-10	1 ml×10	398	
	A019-100	1 ml×100	3568	
2×UltraTaq PCR StarMix 2×UltraTaq 预混液	A014-01	1 ml	48	·适用于高 GC 片段扩增 ·适用于长片段扩增
	A014-10	1 ml×10	398	

- **保真性更高：**保真性相当于普通 *Taq* DNA Polymerase 的 10 倍
- **扩增片段更长：**质粒和 λDNA 模板扩增长度可达 20 kb；基因组模板的扩增长度可达 10 kb
- **扩增性能更强：**适用于复杂基因组模板、高 GC 模板及较长片段的扩增
- **产物末端结构：**扩增产物末端带“A”，可直接用于 TA 克隆

▶ 长片段扩增能力强

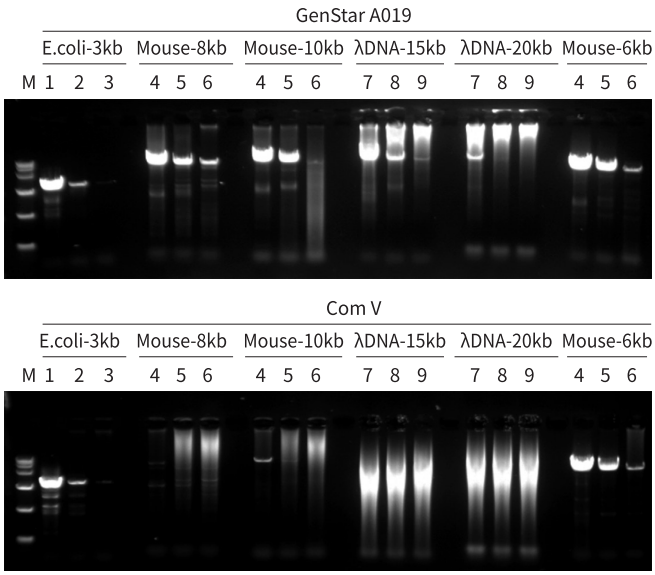

M：StarMarker D15k

1：E.coli gDNA 模板量 10 ng
2：E.coli gDNA 模板量 1 ng
3：E.coli gDNA 模板量 0.1 ng

4：Mouse gDNA 模板量 100 ng
5：Mouse gDNA 模板量 20 ng
6：Mouse gDNA 模板量 4 ng

7：λDNA 模板量 0.1 ng
8：λDNA 模板量 0.01 ng
9：λDNA 模板量 0.001 ng

以 E.coli gDNA、Mouse gDNA、λDNA 为模板，使用 A019 和 Com V 进行不同长度片段的扩增。结果显示，A019 对不同种属来源的长片段扩增能力强，且优于 Com V

▶ 适用于高 GC 模板扩增

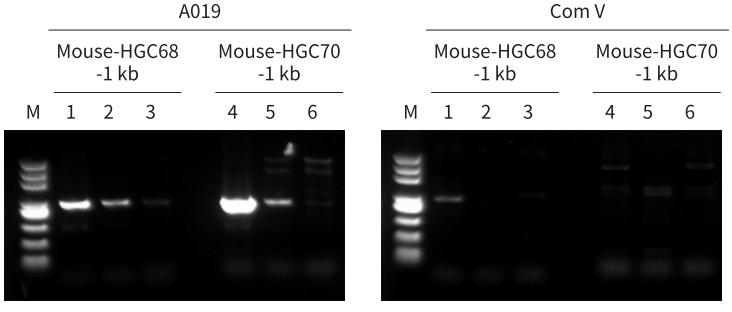

以 Mouse gDNA 为模板，使用 A019 和 ComV 进行高 GC 片段的扩增。结果显示，A019 对高 GC 片段扩增能力强，且优于 Com V

04 / 热启动 PCR

适用于 DNA 片段的高灵敏度、高特异性扩增，常应用于 DNA 序列测定、多重 PCR、染料法和探针法 Real-Time PCR 等。GenStar 热启动 PCR 根据 DNA 聚合酶修饰类型可分为**抗体修饰型**和**化学修饰型**。

抗体修饰型

产品名称	货号	规格	目录价 (¥)	特点
Fast HSTaq DNA Polymerase Fast 热启动 Taq DNA 聚合酶	A131-01	250 U	338	·亲和力强，灵敏度更高 ·扩增效率更高，产物量高 ·反应时间短 ·高度耐受多种抑制剂和杂质 ·可选含红色染料预混液
	A131-10	250 U×10	2868	
2×Fast HSTaq StarMix (Dye) 2×Fast 热启动 Taq 预混液 (染料)	A032-01	1 ml	98	
	A032-10	1 ml×10	898	
2×Fast HSTaq StarMix 2×Fast 热启动 Taq 预混液	A033-01	1 ml	98	
	A033-10	1 ml×10	898	

化学修饰型

产品名称	货号	规格	目录价 (¥)	特点
Power HSTaq DNA Polymerase Power 热启动 Taq DNA 聚合酶	A135-01	250 U	338	·较抗体修饰型，特异性更强 ·酶活封闭效果更好，稳定性更高 ·高度耐受多种抑制剂和杂质 ·可选含红色染料预混液
	A135-10	250 U×10	2868	
2×Power HSTaq StarMix (Dye) 2×Power 热启动 Taq 预混液 (染料)	A036-01	1 ml	98	
	A036-10	1 ml×10	898	
2×Power HSTaq StarMix 2×Power 热启动 Taq 预混液	A037-01	1 ml	98	
	A037-10	1 ml×10	898	

Fast 热启动 Taq DNA 聚合酶 (Cat#A131)

- ✦ **灵敏度高：**抗体修饰的热启动酶，亲和力强，显著提高了 PCR 反应灵敏度
- ✦ **特异性强：**高温热启动前抗 Taq 单克隆抗体与 Taq 酶结合，抑制 Taq 酶的聚合酶活性，有效减少非特异扩增
- ✦ **杂质耐受力强：**高度耐受多种抑制剂和杂质类型，兼容全血直扩
- ✦ **应用广泛：**适用于多种 PCR/qPCR 等应用场景，如多重 PCR、qPCR、qRT-PCR 等反应体系的建立
- ✦ **操作简便：**反应体系可在室温下配制，无需重新激活

▶ 特异性强

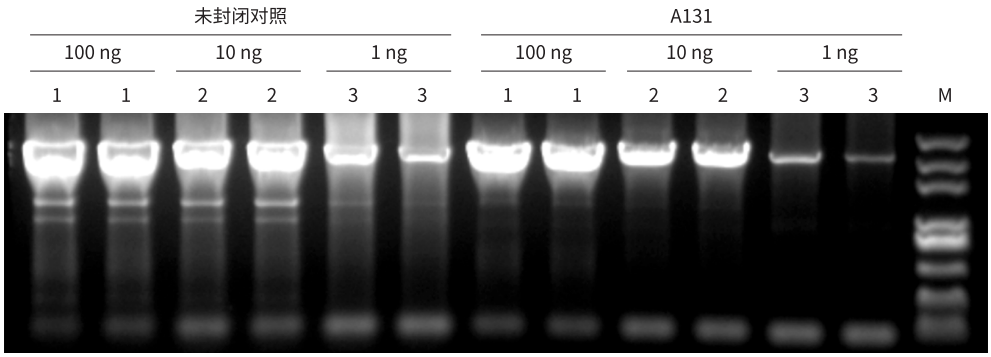

以 E.coli gDNA（100 ng / 10 ng / 1 ng）为模板，进行 PCR 扩增。结果显示，经封闭的 Fast HSTaq DNA Polymerase（Cat#A131）扩增特异性显著提高

▶ 扩增性能优异

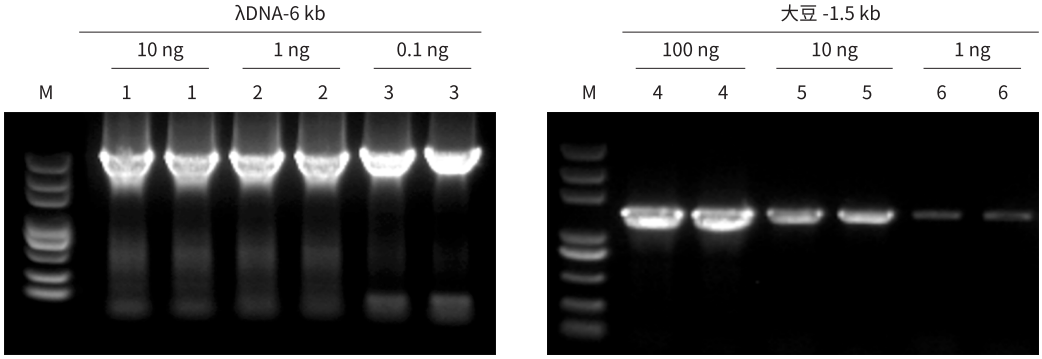

分别以 λDNA（10 ng/1 ng/0.1 ng）和大豆 gDNA（100 ng/10 ng/1 ng）为模板进行 PCR 扩增，以检测其扩增性能。
结果显示，A131 可有效扩增不同长度、不同浓度的目的片段

05 / 超保真 PCR

一般用于≤ 15 kb 对保真度要求很高的 DNA 片段的快速扩增，如定点突变、基因筛选、基因克隆、高通量测序、SNP 分型等。

超保真 PCR Mix

产品名称	货号	规格	目录价 (¥)	特点
2×SuperNova PCR Mix (Dye) 2×SuperNova 超保真 PCR 预混液 (染料)	A064-01	1 ml	368	·含紫红色染料 ·保真度超高 (80×) ·反应速度快 (15-30 s/kb)
	A064-05	1 ml×5	1598	
	A064-10	1 ml×10	2798	
2×SuperNova PCR Mix 2×SuperNova 超保真 PCR 预混液	A065-01	1 ml	368	·保真度超高 (80×) ·反应速度快 (15-30 s/kb)
	A065-05	1 ml×5	1598	
	A065-10	1 ml×10	2798	

超保真 PCR 聚合酶

产品名称	货号	规格	目录价 (¥)	特点
SuperNova DNA Polymerase SuperNova 超保真 DNA 聚合酶	A164-01	100 U	398	·保真度超高（80×） ·反应速度快（15-30 s/kb）
	A164-05	100 U×5	1798	

SuperNova 超保真 DNA 聚合酶 (Cat#A164)
2×SuperNova 超保真 PCR 预混液 (染料) (Cat#A064)

- **保真度超高：**保真度是普通 *Taq* DNA 聚合酶的 80 倍
- **延伸速度快：**延伸速度约为 15-30 s/kb，不超过 1 min/kb
- **模板适用性广：**适用于扩增不同种属、不同长度的 gDNA、cDNA、含同源臂及非同源臂模板
- **高 GC 模板扩增能力强：**可高效扩增高 GC 含量目的片段
- **应用范围广：**适用于基因克隆、高通量测序、定点突变等

▶ 模板适用性广

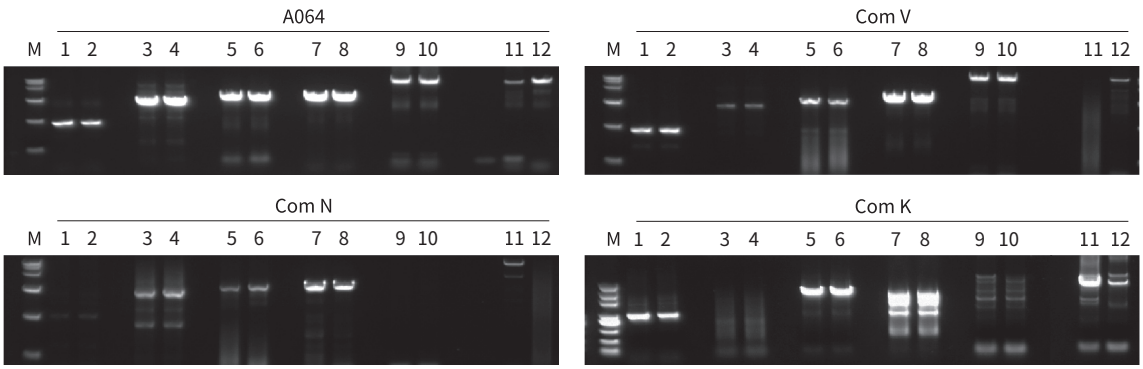

M：StarMarker D2000 Plus　1、2：100 ng Mouse gDNA-1 kb (GC conten 68%)　3、4：100 pg 水稻 gDNA-2.4 kb (GC conten 72%)
5、6：100 ng Mouse gDNA-3 kb　7、8：1 ng E.coli gDNA-3 kb　9、10：100 ng Mouse gDNA-10 kb
11、12：1 ng λDNA-15 kb

GenStar A064 对不同种属来源的简单模板、高 GC 模板、长片段模板扩增效果均很好，且优于 Com V、Com N 和 Com K

▶ 高 GC 模板扩增能力强

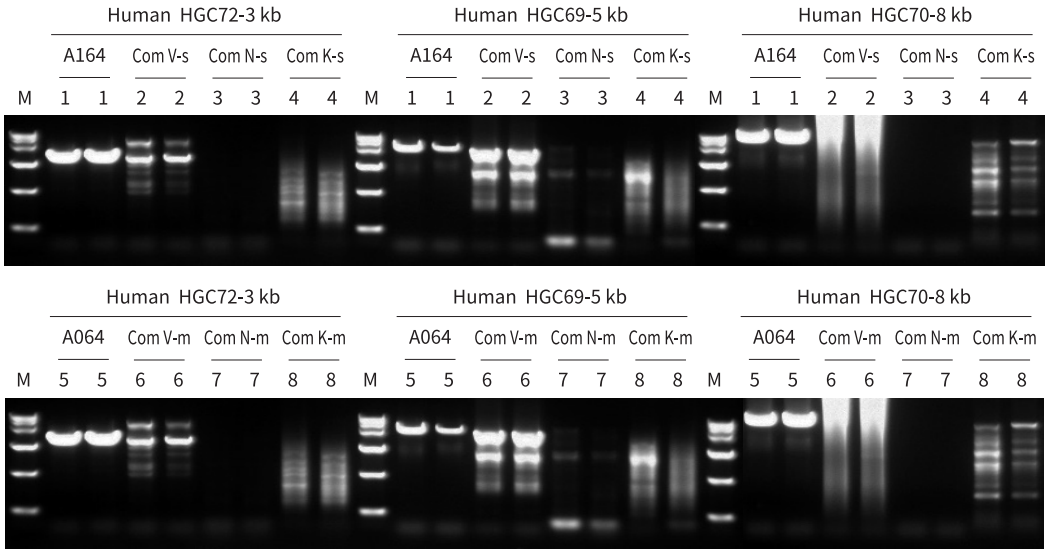

以 Human gDNA 为模板，分别使用 A064/A164、ComV、Com N、Com K 扩增不同 GC 含量的目的片段。
结果显示，SuperNova 对高 GC 模板扩增能力强，且优于 Com V、Com N、Com K

▶ 不同种属来源 gDNA 扩增能力强

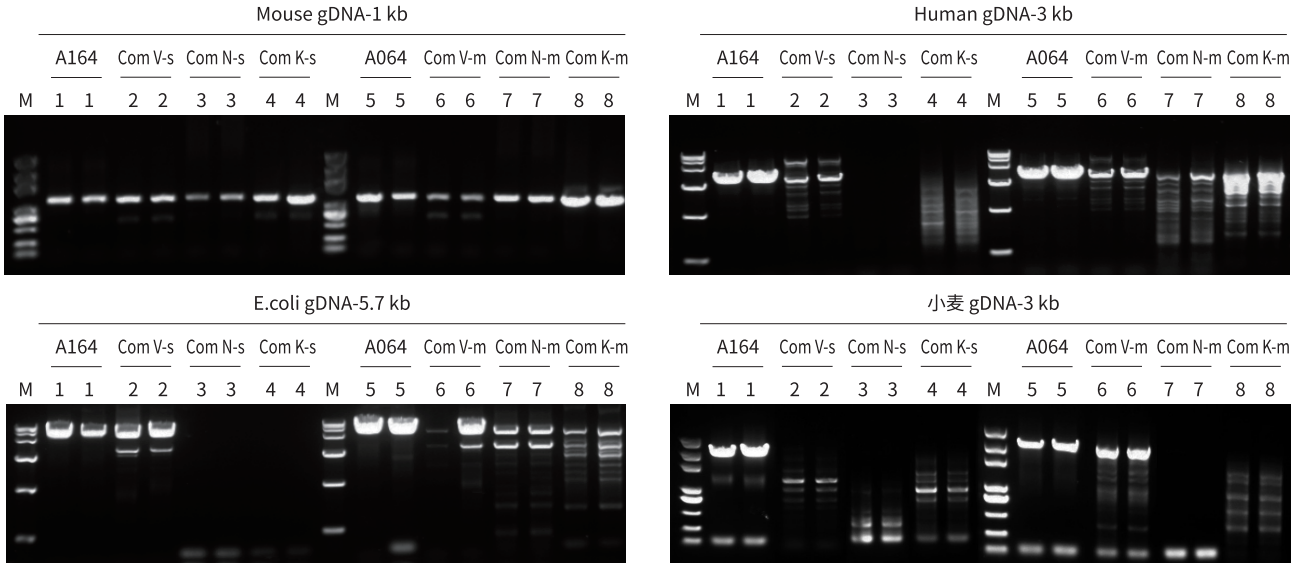

分别以人、小鼠、小麦、E.coli gDNA 为模板，使用 A064/A164、Com V、Com N、Com K 进行不同长度片段扩增。
结果显示，A064/A164 对不同物种来源不同长度片段兼容性强，均能良好扩增，且优于 Com V、Com N 和 Com K

▶ 不同种属来源 cDNA 扩增能力强

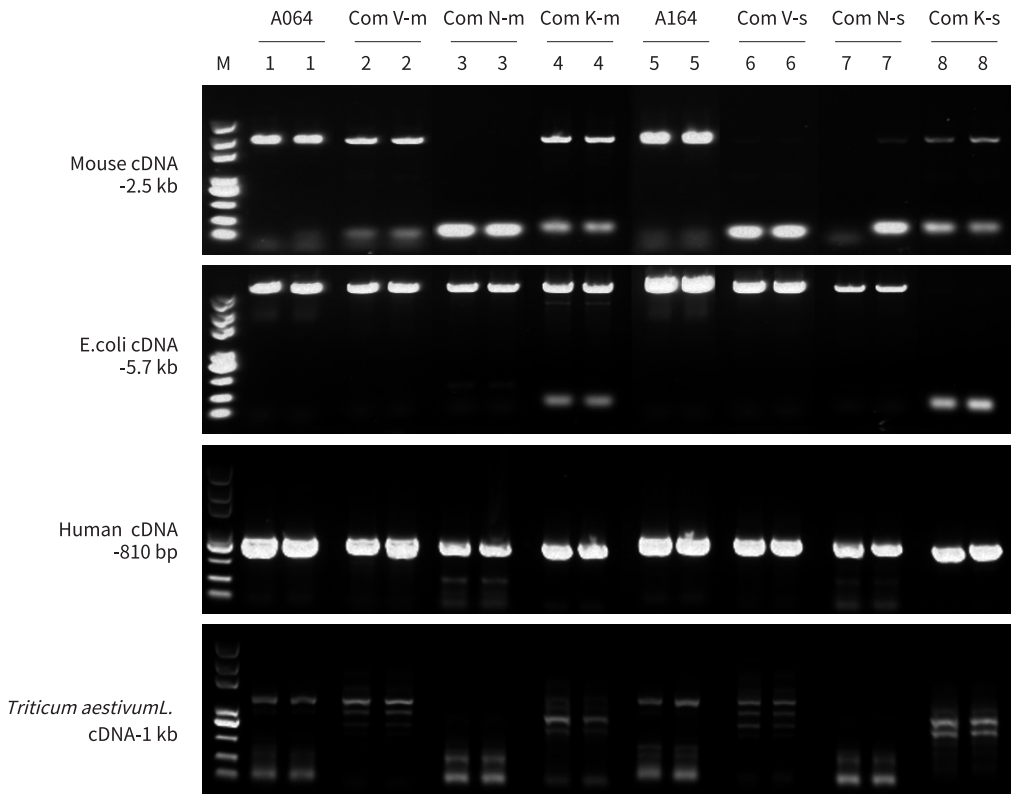

分别以人、小鼠、小麦、E.coli cDNA 为模板，使用 A064/A164、Com V、Com N、Com K 进行不同长度片段扩增。
结果显示，A064/A164 对不同物种来源不同长度的 cDNA 片段兼容性强，均能良好扩增

▶ 可有效扩增含同源臂片段

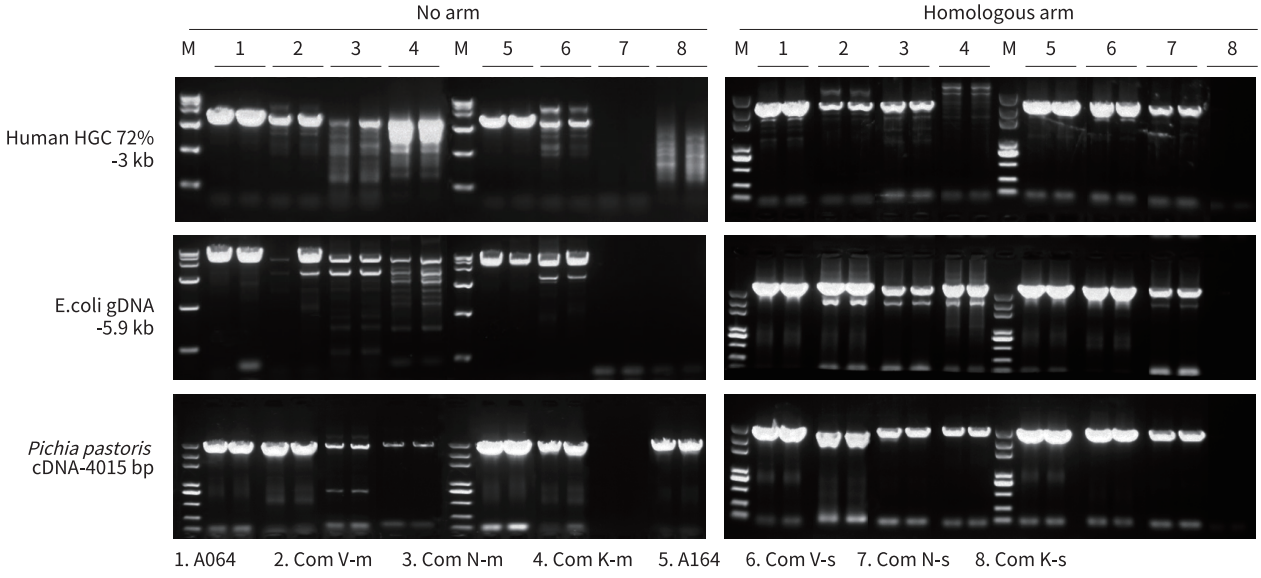

设计常规 PCR 引物与增加了同源臂的 PCR 引物，使用 A064/A164、Com V、Com N、Com K 进行扩增。
结果显示，A064 / A164 对含同源臂片段扩增效果良好

06 / 多重 PCR

适用于 50-3,000 bp 范围内的 DNA 片段扩增，可兼容 GC 含量在 25%-70% 左右的多重基因扩增，可应用于多重 PCR、STR 鉴定、毛细管电泳检测、血液直扩 , 如病原体检测和分型、植物种系鉴定、肿瘤检测等。

产品名称	货号	规格	目录价 (¥)	特点
2×Multiplex PCR StarMix (UNG) 2× 多重 PCR 预混液 (UNG)	A092-01	1 ml	238	·UNG 防污染体系 ·灵敏度高 ·杂质耐受性好
	A092-10	1 ml×10	1898	
2×Multiplex PCR StarMix 2× 多重 PCR 预混液	A099-01	1 ml	168	·灵敏度高 ·杂质耐受性好
	A099-10	1 ml×10	1298	

- **灵敏度高：**最低检测限可达 0.1 ng，条带清晰
- **扩增效率高：**可在同一反应中扩增 20 个以内目的片段
- **扩增范围广：**可同时扩增 50-3000 bp 范围内的目的片段，可兼容 GC 含量在 25-70% 的多重模板扩增
- **杂质耐受能力强：**高度耐受多种抑制剂和杂质类型，兼容全血直扩
- **防污染体系：**可选 dUTP/UDG 防污染体系 (Cat#A092)

优异的灵敏度

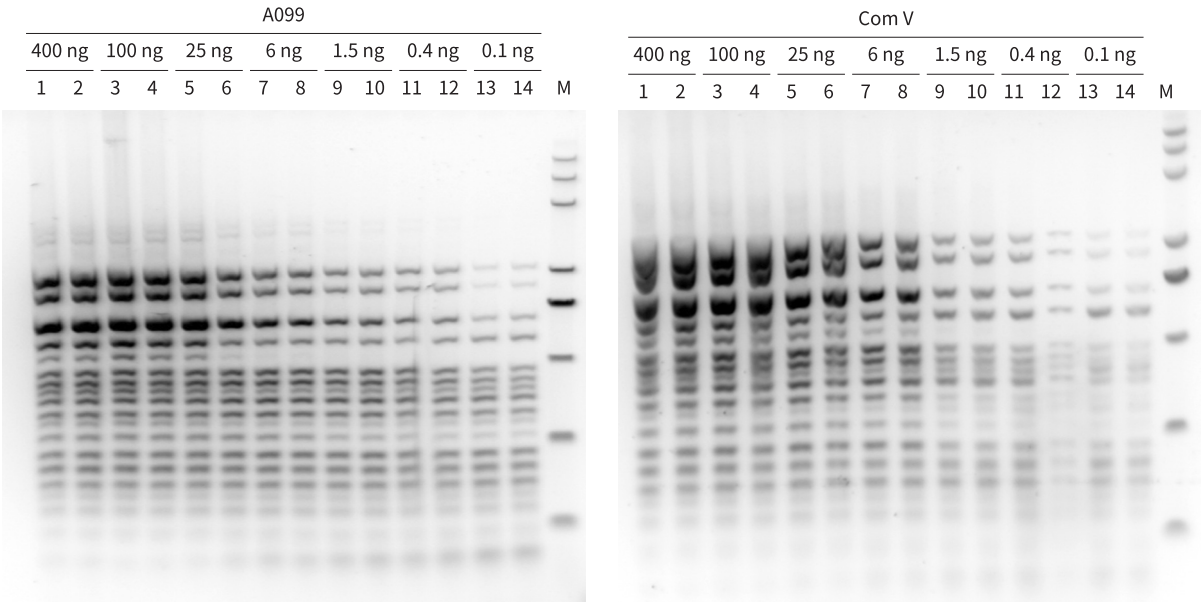

以 Human 基因组为模板，同时扩增 19 个目的片段。结果显示，A099 最低检测限可达 0.1 ng 且条带清晰，优于 Com V

▶ 超高的扩增效率

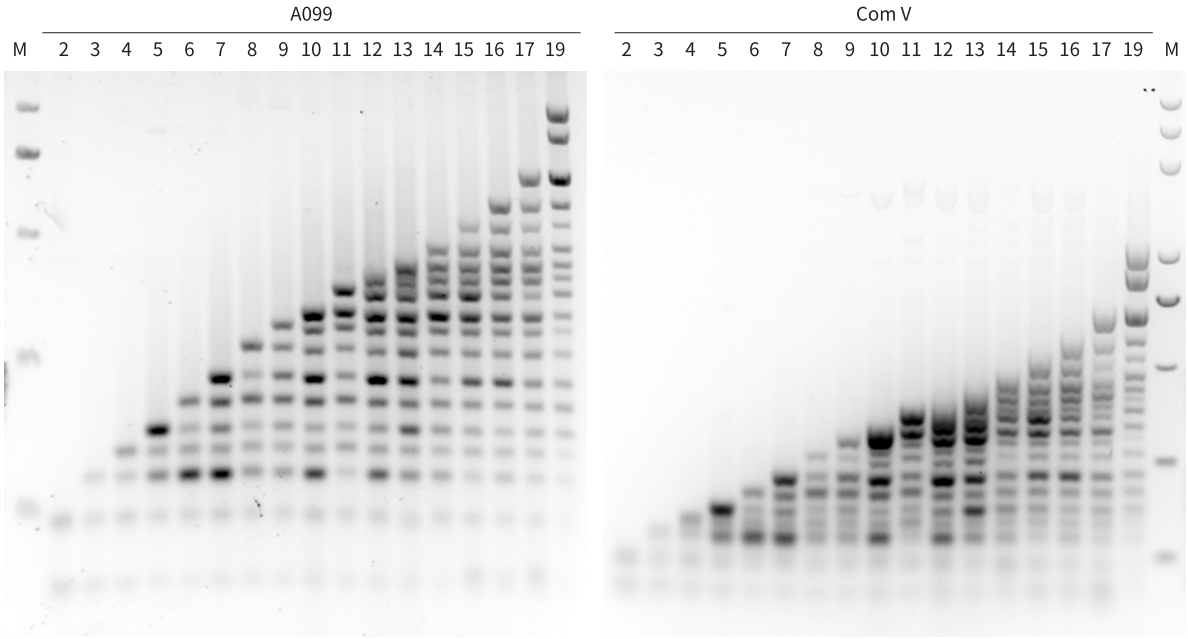

以 Human 基因组为模板，扩增 2~19 重目的片段 (50-1028bp)。结果显示，所有目的片段都清晰可见，A099 同时扩增 20 个以内目的片段

▶ 兼容全血直扩和高 GC 模板扩增

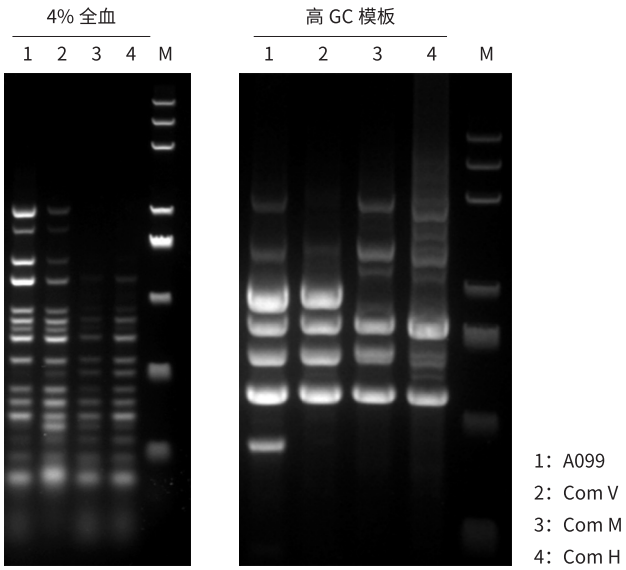

07 / 直扩 PCR

适用于小鼠尾巴、耳朵、脚趾等组织裂解后直接进行 PCR 扩增。可应用于小鼠基因型快速鉴定、转基因分析、基因敲除分析等。

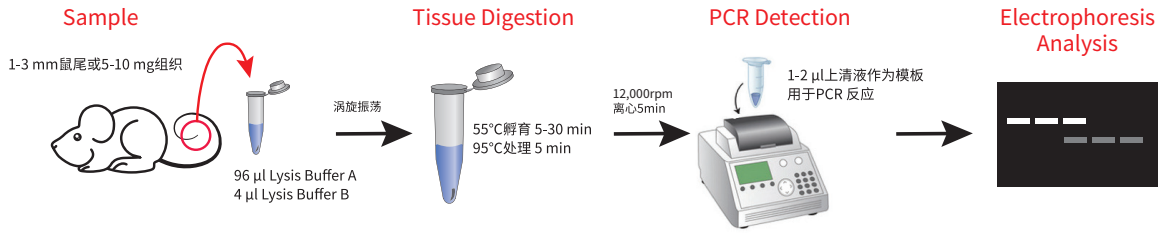

鼠尾直扩实验流程示意图

产品名称	货号	规格	目录价 (¥)	特点
StarDirect Mouse HS PCR Kit 鼠尾直扩试剂盒	A157-02	200 rxn	398	·扩增速度快 ·操作简便快速
StarDirect Mouse HS HiFi PCR Kit 鼠尾热启动高保真直扩试剂盒	A158-02	200 rxn	1368	·热启动高保真 DNA 聚合酶，保真度高、特异性好 ·扩增速度快 ·操作简便快速

鼠尾热启动高保真直扩试剂盒 (Cat#A158)

- **超省时间：**裂解液处理 5-30 min，即可快速释放基因组 DNA
- **操作简便：**裂解产物无需纯化，可直接作为模板进行 PCR 扩增
- **快速高效：**扩增速度 10 s/kb，1 kb 以下片段裂解 + PCR 全过程仅需 40 min
- **性能优异：**采用热启动高保真酶，保真性好、特异性强、扩增效率高

▶ 扩增效率高

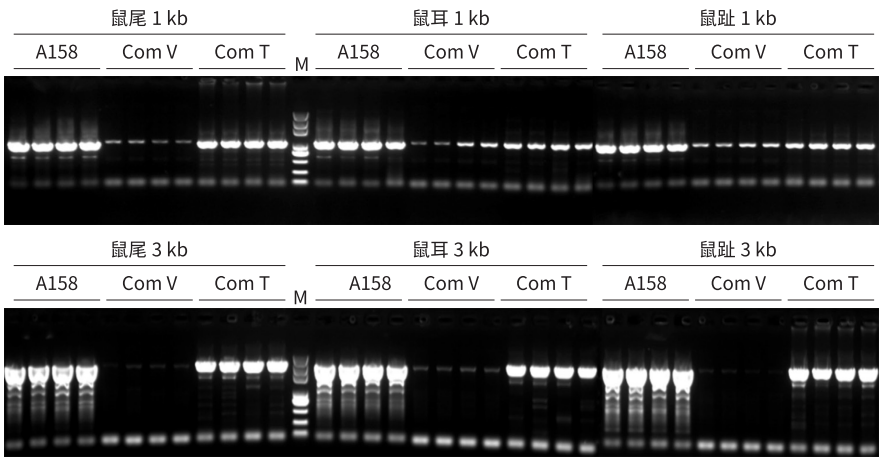

A158 反应条件：55°C孵育 5 min，95°C处理 5 min，扩增速度 10 s/kb
Com T 反应条件：55°C孵育 10 min，95°C处理 3 min，扩增速度 1 min/kb
Com V 反应条件：55°C孵育 20 min，95°C处理 5 min，扩增速度 30 s/kb

以鼠尾、鼠耳、鼠趾裂解液为模板，分别使用 A158、Com V、Com T 进行扩增。结果显示，A158 较 Com V、Com T 裂解速度和扩增速度更快，扩增效率更高

08 / PCR 配套产品

产品名称	货号	规格	目录价 (¥)
dNTPs Mix (10mM Each) dNTPs 混合物（各 10mM）	A113-01	500 µl	108
	A113-10	500 µl×10	860
dNTPs Mix (2.5mM Each) dNTPs 混合物（各 2.5mM）	A114-01	1 ml	54
	A114-10	1 ml×10	430
100mM dATP	A146-01	100 µl	89
	A146-10	1 ml	712
100mM dTTP	A147-01	100 µl	89
	A147-10	1 ml	712
100mM dCTP	A148-01	100 µl	89
	A148-10	1 ml	712
100mM dGTP	A149-01	100 µl	89
	A149-10	1 ml	712
100mM dUTP	A150-01	100 µl	295
	A150-10	1 ml	2360
Sterile Water 灭菌水	A129-02	500 ml	183
	A129-10	1 ml×10	32
	A129-100	1 ml×100	299

附录：代表性文献（近 3 年，IF ≥ 5）

1. Ming Zhang, Hao Zhang, Zhihui Li. Functional, structural and molecular characterizations of leukemogenic driver MEF2D HNRNPUL1 fusion. BLOOD. 2022 May. **IF=23.629**

2. Sun Ye,Yan Kun,Wang Yi,et al. Context-dependent tumor-suppressive BMP signaling in diffuse intrinsic pontine glioma regulates stemness through epigenetic regulation of CXXC5. **Nature Cancer**. 2022 Aug:1-18. **IF=23.177**

3. Yan Wang, Zunyun Fu, Xutong Li, et al. Cytoplasmic DNA sensing by KU complex in aged CD4+ T cell potentiates T cell activation and aging-related autoimmune inflammation. Immunity. 2021 Apr;54:632. **IF=22.553**

4. Cheng Yanli,Shen Zhongtian,Gao Yaqi,et al. Phase transition and remodeling complex assembly are important for SS18-SSX oncogenic activity in synovial sarcomas. **Nature Communications**. 2022 May;13(1):1-13. **IF=14.919**

5. Liu Jianheng, Huang Tao, Chen Wanying. Developmental mRNA m5C landscape and regulatory innovations of massive m5C modification of maternal mRNAs in animals. Nature Communications. 2022 May;13(1):1-13. **IF=14.919**

6.Zhouqing Luo, Shuangying Jiang, Junbiao Dai, et al. Chromosomal Rearrangements of Synthetic Yeast by SCRaMbLE. METHOD CELL BIOL. 2021,2196:153-165. **IF=13.9**

7. Longfei Deng, Pengbo Yao, Le Li, et al. p53-mediated control of aspartate-asparagine homeostasis dictates LKB1 activity and modulates cell survival. NAT COMMUN. 2020;11,1755. **IF=12.121**

8. Yulong Song, Wenbing Yang, Qiang Fu, et al. irCLASH reveals RNA substrates recognized by human ADARs. Nat Struct Mol Biol. 2020 Mar;27(4):351-362. **IF=11.98**

9. Y Song, L Li, W Yang, et al. Sense–antisense miRNA pairs constitute an elaborate reciprocal regulatory circuit. Genome Research. 2020; 30:661-672. **IF=11.093**

10.Yingmin Zhang,Xinhua Qiao,Lihui Liu,et al. Long noncoding RNA MAGI2-AS3 regulates the H2O2 level and cell senescence via HSPA8. **Redox Biology**. 2022 Aug;54:102383. **IF=10.787**

11.Yongjiu Chen, Liting Ren, Lingxiao Sun, et al. Amphiphilic silver nanoclusters show active nano–bio interaction with compelling antibacterial activity against multidrug-resistant bacteria. Npg Asia Mater. 2020 Sep;12(1):1-15. **IF=10.481**

12.Wang Guodong,Wang Tianyu,Zhang Xiulin,et al. Dental pulp stem cell-derived exosomes suppress M1 macrophage polarization through the ROS-MAPK-NFκB P65 signaling pathway after spinal cord injury. J**ournal of Nanobiotechnology.** 2022 Dec;20(1):1-19. **IF=10.435**

13.AA Chahel, Z Yousaf, S Zeng, et al. Growth and physiological alterations related to root-spec IF ic gene function of LrERF061-OE in Glycyrrhiza uralensis Fisch. Plant Cell. 2020;140(1):115-127. **IF=9.618**

14.Yawei Song,Zhengyu Liang,Jie Zhang,et al. CTCF functions as an insulator for somatic genes and a chromatin remodeler for pluripotency genes during reprogramming. **Cell Reports**. 2022 Apr;39:110626. **IF=9.423**

15.Yulong Song, Lishi Li, Wenbing Yang, et al. Sense–antisense miRNA pairs constitute an elaborate reciprocal regulatory circuit. Genome Res. 2020 May;30(5):661-672. **IF=9.043**

16.Yu Jiahong,Qu Liujing,Xia Yan,et al. TMEM189 negatively regulates the stability of ULK1 protein and cell autophagy. **Cell Death & Disease**. 2022 Apr;13(4):1-10. **IF=8.469**

17.Zhang, Meng, Peng, et al. Nanog mediated by FAO/ACLY signaling induces cellular dormancy in colorectal cancer cells. Cell Death Dis. 2022 Feb;13(2):1-11. **IF=8.469**

18.Bo Yan,Zhangcheng Ding,Wenbin Zhang,et al. Multiple PDE3A modulators act as molecular glues promoting PDE3A-SLFN12 interaction and induce SLFN12 dephosphorylation and cell death. **Cell Chemical Biology**. 2022,29(6):958-969. **IF=8.116**

19.Weihong Xie, Shouheng Jin, Yaoxing Wu, et al. Auto ubiquitination of NEDD4-1 Recruits USP13 to Facilitate Autophagy through Deubiquitinating VPS34. Cell Rep. 2020 Feb;30:2807. **IF=8.109**

20.Bo Cui,Bo Yan,Kang Wang,et al. Discovery of a New Class of Uracil Derivatives as Potential Mixed Lineage Kinase Domain-like Protein (MLKL) Inhibitors. **Journal of Medicinal Chemistry**. 2022;65(19):12747–12780. **IF=8.039**

21.Lei Chen,Ai Ren,Yushi Wang,et al. Heterogalactan WPEP-N-b from Pleurotus eryngii enhances immunity in immunocompromised mice. **International Journal of Biological Macromolecules**. 2023,225:1010-1020. **IF=8.025**

22.Xue-Ying Feng,Yu Tian,Wen-Jing Cui,et al. The PTSNtr-KdpDE-KdpFABC Pathway Contributes to Low Potassium Stress Adaptation and Competitive Nodulation of Sinorhizobium fredii | mBio. **Mbio**. 2022,13(3). **IF=7.867**

23.Yanwen Wang,Zhimao Sun,Long Wang,et al. GhBOP1 as a Key Factor of Ribosomal Biogenesis:Development of Wrinkled Leaves in Upland Cotton. **International Journal of Molecular Sciences**. 2022 Jan;23(17):9942. **IF=6.208**

24.Yu Yao,Jiajun Gu,Yanjiao Luo,et al. A Novel 3-O-rhamnoside:2″-O-xylosyltransferase Responsible for Terminal Modification of Prenylflavonol Glycosides in Epimedium pubescens Maxim. **International Journal of Molecular Sciences**. 2022 Jan;23(24):16050. **IF=6.208**

25.Yijing Luo,Lin Ma,Wenxuan Du,et al. Identification and Characterization of Salt- and Drought-Responsive AQP Family Genes in Medicagosativa L. **International Journal of Molecular Sciences**. 2022 Jan;23(6):3342. **IF=5.924**

26.Yu Fan,Hongmin Sun,Wen Yang,et al. YbdO Promotes the Pathogenicity of Escherichia coli K1 by Regulating Capsule Synthesis. **International Journal of Molecular Sciences**. 2022 Jan;23(10):5543. **IF=5.924**

27.Wu HT,Li CL,Fang ZX,et al. Induced Cell Cycle Arrest in Triple-Negative Breast Cancer by Combined Treatment of Itraconazole and Rapamycin. **Frontiers In Pharmacology**. 2022 Apr;13:873131-873131. **IF=5.811**

28.Shulin Zhang,Yu Wang,Xinyue Cui,et al. MoNap1,a Nucleosome Assemble Protein 1,Regulates Growth,Development,and Pathogenicity in Magnaporthe oryzae. **Journal of Fungi**. 2023 Jan;9(1):50. **IF=5.724**

29.Qi Tian, Xiaoxia Yang,Juan Du,et al. Translocator Protein Ligand Etifoxine Attenuates MPTP-Induced Neurotoxicity. **Frontiers In Molecular Neuroscience**. 2022; 15:850904. **IF=5.639**

30.Chang Siyuan,Chen Qian,Yang Tao,et al. Pinb-D1p is an elite allele for improving end-use quality in wheat (Triticum aestivum L.). **Theoretical and Applied Genetics**. 2022 Sep;1-13. **IF=5.574**

31.Qian Zhou,Ying Zhang,Lu Lu,et al. Copper induces microglia-mediated neuroinflammation through ROS/NF-κB pathway and mitophagy disorder. **Food and Chemical Toxicology**. 2022 Oct;168:113369. **IF=5.572**

32.Zihan Zheng,Yushan Xian,Zhen Jin,et al. Rhaponticum Carthamoides Improved Energy Metabolism and Oxidative Stress through the SIRT6/Nrf2 Pathway to Ameliorate Myocardial Injury. **Phytomedicine**. 2022 May;154197. **IF=5.34**

33.Jiao Ying Shang,Pan Zhang,Yu Wen Jia,et al. Coordinated regulation of symbiotic adaptation by NodD proteins and NolA in the type I peanut bradyrhizobial strain Bradyrhizobium zhanjiangense CCBAU51778. **Microbiological Research**. 2022 Dec;265:127188. **IF=5.07**

34.Xiaoyi Wang,Jialiang Lai,Honghao Hu,et al. Infection of Nigrospora nonsegmented RNA Virus 1 Has Important Biological Impacts on a Fungal Host. **Viruses-Basel.** 2022 Apr;14(4):795. **IF=5.048**

35.Yuxin Ma,Haiyan Che,Shengfeng Gao,et al. Diverse Novel Viruses Coinfecting the Tropical Ornamental Plant Polyscias balfouriana in China. **Viruses-Basel**. 2022 Jun;14(6):1120. **IF=5.048**

36.Yujia Sun,Tianqi Zhao,Yaoyao Ma,et al. New Insight into Muscle-Type Cofilin (CFL2) as an Essential Mediator in Promoting Myogenic Differentiation in Cattle. **Bioengineering-Basel**. 2022 Dec;9(12):729. **IF=5.046**

北京康润诚业生物科技有限公司
Add: 北京市昌平区中关村生命科学园生命园路8号院一区9号楼A座5层
Tel: 400-666-3332
E-mail: tech.service@gene-star.com
Web: www.gene-star.com

五级 43020205207